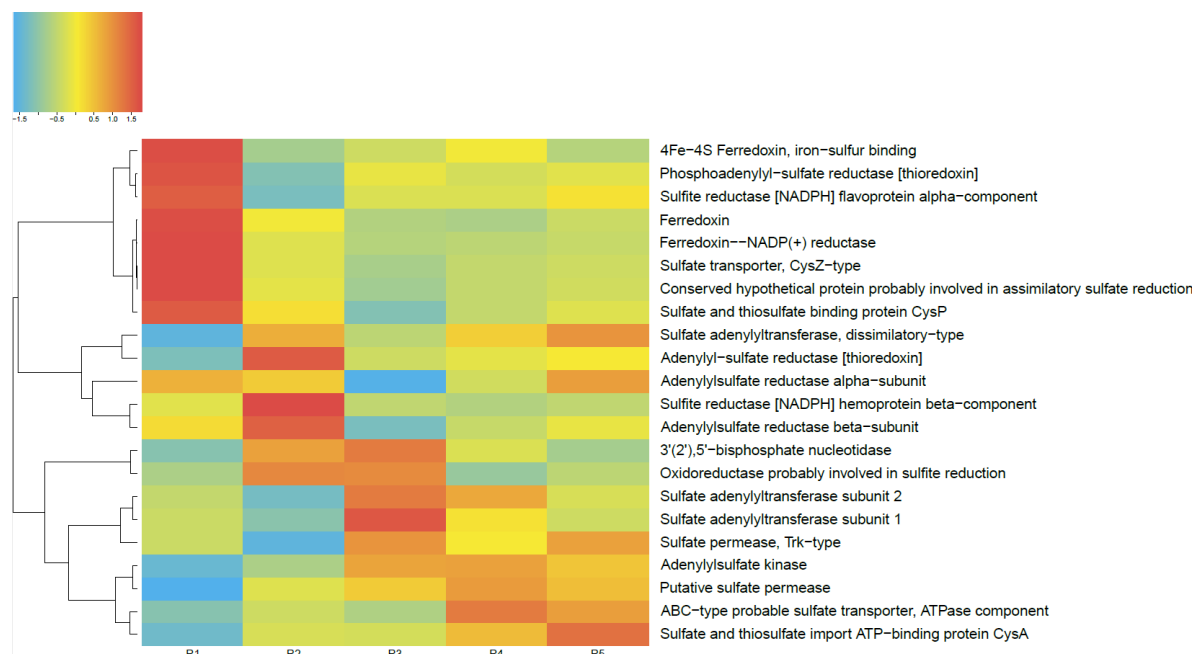


**Figure S1.** Pathways of nitrogen metabolism in the microbial communities of the lake.



**Figure S2.** Pathways of sulfur metabolism in the microbial communities of the lake.

**Table S1.** The geochemical composition of Lake Solenoe, of the expeller extract from the floating microbial community, and of the pore solutions from bottom sediments.

Parameter	Unit	Layer				
		R1	R2	R3	R4	R5
Ca <sup>2+</sup>	mg L <sup>-1</sup>	345	530	245	277	228
Mg <sup>2+</sup>	mg L <sup>-1</sup>	2070	9160	3950	7910	7860
Na <sup>+</sup>	mg L <sup>-1</sup>	8850	39300	28200	26400	25600
K <sup>+</sup>	mg L <sup>-1</sup>	180	270	226	78	67
HCO <sup>3-</sup>	mg L <sup>-1</sup>	6110	4890	2660	691	539
DOC	mg L <sup>-1</sup>	170	532	175	145	134
SO <sub>4</sub> <sup>2-</sup>	mg L <sup>-1</sup>	3700	35000	20700	12900	19500
Cl <sup>-</sup>	mg L <sup>-1</sup>	14200	52600	43400	53200	52300
TDS	g L <sup>-1</sup>	75	142	100	102	106
pH	pH	8.21	7.02	7.35	7.10	7.29
Eh <sup>1</sup>	mV	263	-160	-172	-60	-130
Eh <sup>2</sup>	mV	-	-180	-158	93	187
Li	µg L <sup>-1</sup>	347	278	223	326	328
B	µg L <sup>-1</sup>	3650	5300	1990	1460	1040
Al	µg L <sup>-1</sup>	1220	1190	1330	373	130
Si	µg L <sup>-1</sup>	3700	18900	18500	3080	<2000
P	µg L <sup>-1</sup>	4560	19800	35700	1360	<3000
Sc	µg L <sup>-1</sup>	2.54	4.00	2.42	3.21	2.70
Ti	µg L <sup>-1</sup>	54	77	56	30	21
V	µg L <sup>-1</sup>	174	197	296	153	155
Cr	µg L <sup>-1</sup>	64	99	53	66	70
Mn	µg L <sup>-1</sup>	4500	21100	8120	4100	2700
Fe	µg L <sup>-1</sup>	2400	22900	623	696	105
Co	µg L <sup>-1</sup>	8.1	6.4	4.4	5.5	7.4
Ni	µg L <sup>-1</sup>	24	108	48	60	137
Cu	µg L <sup>-1</sup>	303	243	153	256	240
Zn	µg L <sup>-1</sup>	1860	133	<10	<48	<48
Ga	µg L <sup>-1</sup>	<1	7.5	7.5	<1	<1
Ge	µg L <sup>-1</sup>	61	364	119	100	81
As	µg L <sup>-1</sup>	155	239	107	59	9
Se	µg L <sup>-1</sup>	<240	133	73	200	270
Br	mg L <sup>-1</sup>	124	100	83	107	107
Rb	µg L <sup>-1</sup>	26	39	22	13	13
Sr	µg L <sup>-1</sup>	14000	17100	14700	13500	11600
Y	µg L <sup>-1</sup>	3.17	1.2	4.3	1.1	1.8
Zr	µg L <sup>-1</sup>	3	12	9.9	1.7	1.9
Nb	µg L <sup>-1</sup>	1	2.5	1.1	0.8	0.7
Mo	µg L <sup>-1</sup>	4.9	9.7	11.1	12.7	111.3
Cd	µg L <sup>-1</sup>	0.19	<1	<1	0.38	0.50
Sb	µg L <sup>-1</sup>	11.4	66	32.4	6.7	10.2
I	µg L <sup>-1</sup>	499	171	152	252	135
Ba	µg L <sup>-1</sup>	<15	30	<15	<15	<15
La	µg L <sup>-1</sup>	3.34	0.88	1.64	0.46	0.78
Ce	µg L <sup>-1</sup>	7.91	1.90	4.62	0.82	0.84
Pr	µg L <sup>-1</sup>	0.89	0.26	0.42	0.15	0.25
Nd	µg L <sup>-1</sup>	3.55	0.67	1.75	0.32	0.60
Sm	µg L <sup>-1</sup>	0.53	0.31	0.37	bdl	bdl

Eu	$\mu\text{g L}^{-1}$	0.17	0.12	0.16	bdl	bdl
Gd	$\mu\text{g L}^{-1}$	0.83	0.40	0.40	bdl	bdl
Tb	$\mu\text{g L}^{-1}$	0.18	0.07	0.11	bdl	bdl
Dy	$\mu\text{g L}^{-1}$	0.69	0.40	0.52	bdl	bdl
Ho	$\mu\text{g L}^{-1}$	0.17	0.07	0.14	bdl	bdl
Er	$\mu\text{g L}^{-1}$	0.34	0.14	0.53	bdl	bdl
Tm	$\mu\text{g L}^{-1}$	0.07	0.04	0.15	bdl	bdl
Yb	$\mu\text{g L}^{-1}$	0.25	0.14	0.58	bdl	bdl
Lu	$\mu\text{g L}^{-1}$	0.008	0.02	0.06	bdl	bdl
Hf	$\mu\text{g L}^{-1}$	0.14	0.2	<0.001	0.51	0.37
Ta	$\mu\text{g L}^{-1}$	1.38	0.6	0.22	0.82	0.75
W	$\mu\text{g L}^{-1}$	3.3	8.5	8.9	1.7	2.3
Au	$\mu\text{g L}^{-1}$	4.2	6.3	2.63	<2.1	<2.1
Pb	$\mu\text{g L}^{-1}$	18	<10	<10	14	14
Th	$\mu\text{g L}^{-1}$	7.4	1.3	2.4	1.2	1.2
U	$\mu\text{g L}^{-1}$	13	2	110	53	298

Note. [Be] < 5  $\mu\text{g L}^{-1}$ , [Cs] < 1  $\mu\text{g L}^{-1}$ , [Tl] < 1  $\mu\text{g L}^{-1}$ . bdl: below detection limit. TDS: total dissolved solids.